

Comparaison de schémas implicites et explicites, centrés et décentrés en maillage mobile pour la simulation d'écoulements compressés

Marc Buffat¹ Anne Cadiou²
Lionel Le Penven² Catherine Le Ribault²

¹UCB Lyon I, LMFA UMR 5509

²CNRS, LMFA UMR 5509

CFT'04 Monastir (Tunisie) Avril 2004

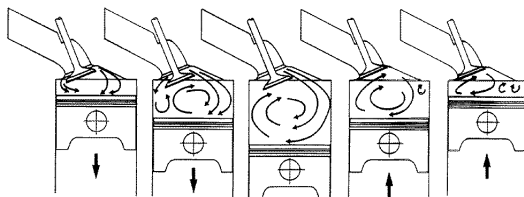


Plan de l'exposé

- 1 Introduction
- 2 Méthodes Numériques
- 3 Décroissance d'un tourbillon
- 4 Compression d'un tourbillon
- 5 Conclusion

Introduction

- Ecoulements de tumble compressés (chambre de combustion)

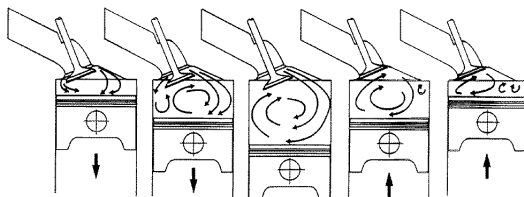


- Ecoulement compressible à bas Mach
- Maillages mobiles
- Condition de stabilité basée sur c (célérité) et non u (vitesse)

$$CFL = \frac{(u+c)\Delta t}{\Delta x} \approx \frac{c\Delta t}{\Delta x}$$

Introduction

- Ecoulements de tumble compressés (chambre de combustion)



Difficultés des simulations numériques

- Ecoulement compressible à bas Mach
- Maillages mobiles
- Condition de stabilité basée sur c (célérité) et non u (vitesse)

$$CFL = \frac{(u + c) \Delta t}{\Delta x} \approx \frac{c \Delta t}{\Delta x}$$

Schémas Numériques

Equations de conservation pour $W = \left[\rho, \rho \vec{U}, E = \frac{p}{\gamma-1} + \frac{1}{2} \rho U^2 \right]$

$$\frac{\partial W}{\partial t} + \underbrace{\text{div}(\mathcal{A}(W)W)}_{\text{flux d'Euler}} = \underbrace{\text{div}(\mathcal{R}(W))}_{\text{flux visqueux}} + \underbrace{\mathcal{S}(W)}_{\text{source}}$$

Difficultés numériques: flux d'Euler $\mathcal{F}(W) = \mathcal{A}(W)W$

schéma explicite avec cdt de stabilité $CFL < 1$

- Schéma explicite centré d'ordre 2 instable
- Schéma explicite décentré (suivant les valeurs propres a de \mathcal{A})
- Schéma explicite d'ordre élevé (i.e. >2)

schéma implicite $CFL > 1$

- Schéma implicite centré non linéaire

Schémas Numériques

Equations de conservation pour $W = \left[\rho, \rho \vec{U}, E = \frac{p}{\gamma-1} + \frac{1}{2} \rho U^2 \right]$

$$\frac{\partial W}{\partial t} + \underbrace{\text{div}(\mathcal{A}(W)W)}_{\text{flux d'Euler}} = \underbrace{\text{div}(\mathcal{R}(W))}_{\text{flux visqueux}} + \underbrace{\mathcal{S}(W)}_{\text{source}}$$

Difficultés numériques: flux d'Euler $\mathcal{F}(W) = \mathcal{A}(W)W$

schéma explicite avec cdt de stabilité $CFL < 1$

- Schéma explicite centré d'ordre 2 instable
- Schéma explicite décentré (suivant les valeurs propres a de \mathcal{A})
- Schéma explicite d'ordre élevé (i.e. >2)

schéma implicite $CFL \gg 1$

- Schéma implicite centré non linéaire

Schémas Numériques

Equations de conservation pour $W = \left[\rho, \rho \vec{U}, E = \frac{p}{\gamma-1} + \frac{1}{2} \rho U^2 \right]$

$$\frac{\partial W}{\partial t} + \underbrace{\text{div}(\mathcal{A}(W)W)}_{\text{flux d'Euler}} = \underbrace{\text{div}(\mathcal{R}(W))}_{\text{flux visqueux}} + \underbrace{\mathcal{S}(W)}_{\text{source}}$$

Difficultés numériques: flux d'Euler $\mathcal{F}(W) = \mathcal{A}(W)W$

schéma explicite avec cdt de stabilité $CFL < 1$

- Schéma explicite centré d'ordre 2 instable
- Schéma explicite décentré (suivant les valeurs propres a de \mathcal{A})
- Schéma explicite d'ordre élevé (i.e. >2)

schéma implicite $CFL \gg 1$

- Schéma implicite centré non linéaire

Schémas Numériques

Equations de conservation pour $W = \left[\rho, \rho \vec{U}, E = \frac{p}{\gamma-1} + \frac{1}{2} \rho U^2 \right]$

$$\frac{\partial W}{\partial t} + \underbrace{\text{div}(\mathcal{A}(W)W)}_{\text{flux d'Euler}} = \underbrace{\text{div}(\mathcal{R}(W))}_{\text{flux visqueux}} + \underbrace{\mathcal{S}(W)}_{\text{source}}$$

Difficultés numériques: flux d'Euler $\mathcal{F}(W) = \mathcal{A}(W)W$

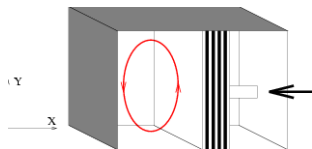
schéma explicite avec cdt de stabilité $CFL < 1$

- Schéma explicite centré d'ordre 2 instable
- Schéma explicite décentré (suivant les valeurs propres a de \mathcal{A})
- Schéma explicite d'ordre élevé (i.e. >2)

schéma implicite $CFL \gg 1$

- Schéma implicite centré non linéaire

Maillage déformable



$$V_p = L(t)$$

$$r = \frac{L(0)}{L(t)} = 5$$

changement de variable

$$\chi = \frac{x}{L(t)}$$

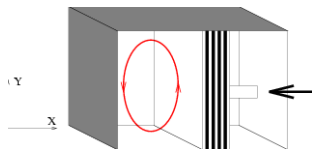
transformation domaine (EF)

$$\int_{\Theta_k} f \cdot \psi_i d\omega = \int_{\hat{\Theta}} \hat{f} \cdot N_i \det(J) d\hat{\omega}$$

formulation conservative (VF)

$$\frac{d}{dt} \int_{V_k} \rho f d\omega = - \int_{\Gamma_k} \rho f \vec{U} \cdot \vec{n} d\Gamma + \int_{V_k} S d\omega$$

Maillage déformable



$$V_p = L(t)$$

$$r = \frac{L(0)}{L(t)} = 5$$

changement de variable

$$\chi = \frac{x}{L(t)}$$

transformation domaine (EF)

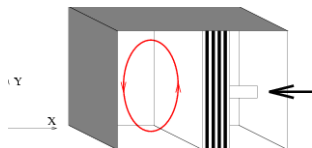
$$\int_{\Theta_k} f \cdot \psi_j d\omega = \int_{\hat{\Theta}} \hat{f} \cdot N_j \det(\mathbf{J}) d\hat{\omega}$$

formulation conservative (VF)

$$\frac{d}{dt} \int_{V_k} \rho f d\omega =$$

$$- \int_{\Gamma_k} \rho f \vec{U} \cdot \vec{n} d\Gamma + \int_{V_k} S d\omega$$

Maillage déformable



$$V_p = L(t)$$

$$r = \frac{L(0)}{L(t)} = 5$$

changement de variable

$$\chi = \frac{x}{L(t)}$$

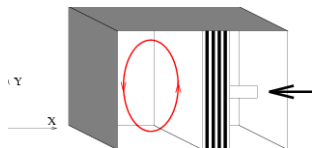
transformation domaine (EF)

$$\int_{\Theta_k} f \cdot \psi_i d\omega = \int_{\hat{\Theta}} \hat{f} \cdot N_i \det(\mathbf{J}) d\hat{\omega}$$

formulation conservative (VF)

$$\frac{d}{dt} \int_{V_k} \rho f d\omega = - \int_{\Gamma_k} \rho f \vec{U} \cdot \vec{n} d\Gamma + \int_{V_k} S d\omega$$

Maillage déformable



$$V_p = L(t)$$

$$r = \frac{L(0)}{L(t)} = 5$$

changement de variable

$$\chi = \frac{x}{L(t)}$$

transformation domaine (EF)

$$\int_{\Theta_k} f \cdot \psi_i d\omega = \int_{\hat{\Theta}} \hat{f} \cdot N_i \det(\mathbf{J}) d\hat{\omega}$$

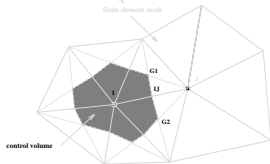
formulation conservative (VF)

$$\begin{aligned} \frac{d}{dt} \int_{V_k} \rho f d\omega = \\ - \int_{\Gamma_k} \rho f \vec{U} \cdot \vec{n} d\Gamma + \int_{V_k} S d\omega \end{aligned}$$

Code "NadiaLES"

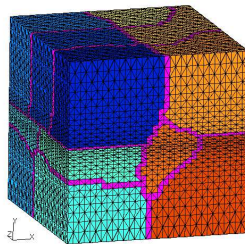
- Code E.F. + LES sur maillage non structuré (Duchamp 1999)

- FV/FE sur maillage non structuré (Dervieux 1998)



- Solveur de Riemann bas Mach RoeTurkel (Viozat 1997)
- Contrôle de la dissipation et de la dispersion

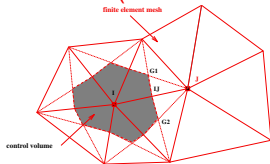
- précision $O(dt^4, h^2)$ avec Runge Kutta 4
- décomposition de domaine (calcul //e)



Code "NadiaLES"

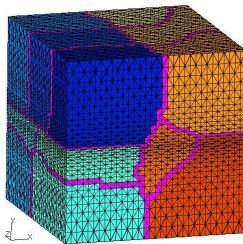
- Code E.F. + LES sur maillage non structuré (Duchamp 1999)

- FV/FE sur maillage non structuré (Dervieux 1998)**



- Solveur de Riemann bas Mach RoeTurkel (Viozat 1997)
- Contrôle de la dissipation et de la dispersion

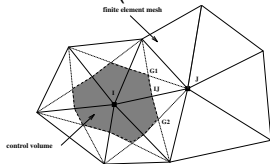
- precision $O(dt^4, h^2)$ avec Runge Kutta 4
- décomposition de domaine (calcul //e)



Code "NadiaLES"

- Code E.F. + LES sur maillage non structuré (Duchamp 1999)

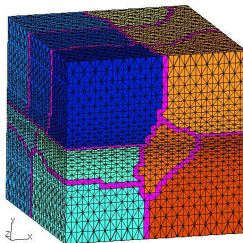
- FV/FE sur maillage non structuré (Dervieux 1998)



- Solveur de Riemann bas Mach RoeTurkel (Viozat 1997)

- Contrôle de la dissipation et de la dispersion

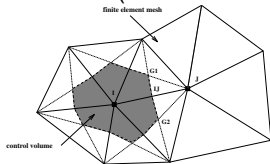
- precision $O(dt^4, h^2)$ avec Runge Kutta 4
- décomposition de domaine (calcul //e)



Code "NadiaLES"

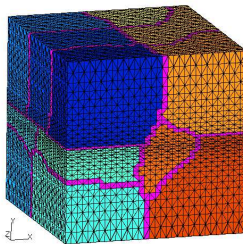
- Code E.F. + LES sur maillage non structuré (Duchamp 1999)

- FV/FE sur maillage non structuré (Dervieux 1998)



- Solveur de Riemann bas Mach RoeTurkel (Viozat 1997)
- Contrôle de la dissipation et de la dispersion**

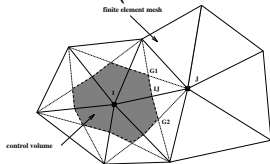
- precision $O(dt^4, h^2)$ avec Runge Kutta 4
- décomposition de domaine (calcul //e)



Code "NadiaLES"

- Code E.F. + LES sur maillage non structuré (Duchamp 1999)

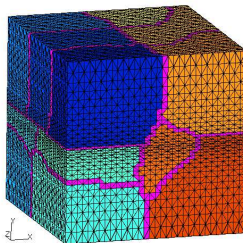
- FV/FE sur maillage non structuré (Dervieux 1998)



- Solveur de Riemann bas Mach RoeTurkel (Viozat 1997)
- Contrôle de la dissipation et de la dispersion

- **precision $O(dt^4, h^2)$ avec Runge Kutta 4**

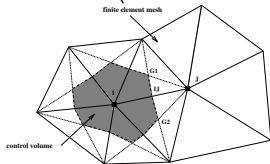
- décomposition de domaine (calcul //e)



Code "NadiaLES"

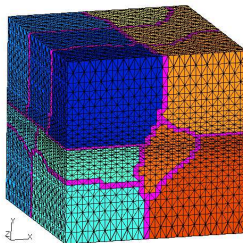
- Code E.F. + LES sur maillage non structuré (Duchamp 1999)

- FV/FE sur maillage non structuré (Dervieux 1998)



- Solveur de Riemann bas Mach RoeTurkel (Viozat 1997)
- Contrôle de la dissipation et de la dispersion

- précision $O(dt^4, h^2)$ avec Runge Kutta 4
- décomposition de domaine (calcul //e)



Code "NadiaDF"

- Code D.F. d'ordre élevé explicite (R.K. 4) sur maillage structuré

PADE: Lele 1992

reconstruction des dérivées ordre 4

$$\alpha F'_{i-1} + F'_i + \alpha F'_{i+1} = a \frac{F_{i+1} - F_{i-1}}{2\Delta x}$$

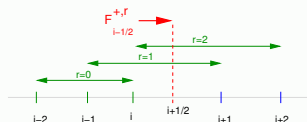
avec $\alpha = \frac{1}{4}$, $a = \frac{4}{3}$

système tri-diagonal (Thomas)

WENO: Jiang & Shu 1996

reconstruction des flux ordre 5

$$F_{i+\frac{1}{2}} = \sum_{r=0}^2 \omega_r F_{i+\frac{1}{2}}^{+,r} + \sum_{r=0}^2 \omega_{2-r} F_{i+\frac{1}{2}}^{-,r}$$



Code "NadiaDF"

- Code D.F. d'ordre élevé explicite (R.K. 4) sur maillage structuré

PADE: Lele 1992

reconstruction des dérivées ordre 4

$$\alpha F'_{i-1} + F'_i + \alpha F'_{i+1} = a \frac{F_{i+1} - F_{i-1}}{2\Delta x}$$

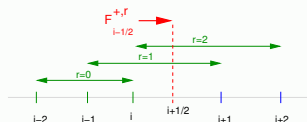
avec $\alpha = \frac{1}{4}$, $a = \frac{4}{3}$

système tri-diagonal (Thomas)

WENO: Jiang & Shu 1996

reconstruction des flux ordre 5

$$F_{i+\frac{1}{2}} = \sum_{r=0}^2 \omega_r F_{i+\frac{1}{2}}^{+,r} + \sum_{r=0}^2 \omega_{2-r} F_{i+\frac{1}{2}}^{-,r}$$



Code "NadiaDF"

- Code D.F. d'ordre élevé explicite (R.K. 4) sur maillage structuré

PADE: Lele 1992

reconstruction des dérivées ordre 4

$$\alpha F'_{i-1} + F'_i + \alpha F'_{i+1} = a \frac{F_{i+1} - F_{i-1}}{2\Delta x}$$

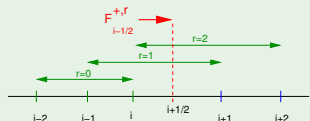
avec $\alpha = \frac{1}{4}$, $a = \frac{4}{3}$

système tri-diagonal (Thomas)

WENO: Jiang & Shu 1996

reconstruction des flux ordre 5

$$F_{i+\frac{1}{2}} = \sum_{r=0}^2 \omega_r F_{i+\frac{1}{2}}^{+,r} + \sum_{r=0}^2 \omega_{2-r} F_{i+\frac{1}{2}}^{-,r}$$



NadiaVF

- Code VF parallèle en C++ sur maillage non structuré

- Schéma V.F. implicite BDF

$$\frac{3W^{n+1} - 4W^n + W^{n-1}}{2\Delta t} = F(W^{n+1})$$

- Newton $G(W^{n+1}) = 0$

$$\left(\frac{\partial G}{\partial W} \right)_k (W_{k+1}^{n+1} - W_k^{n+1}) = G(W_k^{n+1})$$

- Schéma centré d'ordre 2

$$\frac{\partial W}{\partial x_j} = \frac{1}{V_k} \int_{\Gamma_k} W n_j d\Gamma$$

- LibMesh (Kirk 2002)
gestion maillage en //e en C++ avec adaptation (AMR)
- PETSC (Barry 2001)
résolution système linéaire en //e (MPI)
Krilov, MultiGrille
- METIS (Karypis 1996)
partitionnement

NadiaVF

- Code VF parallèle en C++ sur maillage non structuré

- Schéma V.F. implicite BDF

$$\frac{3W^{n+1} - 4W^n + W^{n-1}}{2\Delta t} = F(W^{n+1})$$

- Newton $G(W^{n+1}) = 0$

$$\left(\frac{\partial G}{\partial W} \right)_k (W_{k+1}^{n+1} - W_k^{n+1}) = G(W_k^{n+1})$$

- Schéma centré d'ordre 2

$$\frac{\partial W}{\partial x_i} = \frac{1}{V_k} \int_{\Gamma_k} W n_i d\Gamma$$

- LibMesh (Kirk 2002)
gestion maillage en //e en C++ avec adaptation (AMR)
- PETSC (Barry 2001)
résolution système linéaire en //e (MPI)
Krilov, MultiGrille
- METIS (Karypis 1996)
partitionnement

NadiaVF

- Code VF parallèle en C++ sur maillage non structuré

- Schéma V.F. implicite BDF

$$\frac{3W^{n+1} - 4W^n + W^{n-1}}{2\Delta t} = F(W^{n+1})$$

- Newton $G(W^{n+1}) = 0$

$$\left(\frac{\partial G}{\partial W} \right)_k (W_{k+1}^{n+1} - W_k^{n+1}) = G(W_k^{n+1})$$

- Schéma centré d'ordre 2

$$\frac{\partial W}{\partial x_i} = \frac{1}{V_k} \int_{\Gamma_k} W n_i d\Gamma$$

- LibMesh (Kirk 2002)
gestion maillage en //e en C++ avec adaptation (AMR)
- PETSC (Barry 2001)
résolution système linéaire en //e (MPI)
Krilov, MultiGrille
- METIS (Karypis 1996)
partitionnement

NadiaVF

- Code VF parallèle en C++ sur maillage non structuré

- Schéma V.F. implicite BDF

$$\frac{3W^{n+1} - 4W^n + W^{n-1}}{2\Delta t} = F(W^{n+1})$$

- Newton $G(W^{n+1}) = 0$

$$\left(\frac{\partial G}{\partial W} \right)_k (W_{k+1}^{n+1} - W_k^{n+1}) = G(W_k^{n+1})$$

- Schéma centré d'ordre 2

$$\overline{\frac{\partial W}{\partial x_i}} = \frac{1}{V_k} \int_{\Gamma_k} W n_i d\Gamma$$

- LibMesh (Kirk 2002)
gestion maillage en //e en C++ avec adaptation (AMR)
- PETSC (Barry 2001)
résolution système linéaire en //e (MPI)
Krilov, MultiGrille
- METIS (Karypis 1996)
partitionnement

NadiaVF

- Code VF parallèle en C++ sur maillage non structuré

- Schéma V.F. implicite BDF

$$\frac{3W^{n+1} - 4W^n + W^{n-1}}{2\Delta t} = F(W^{n+1})$$

- Newton $G(W^{n+1}) = 0$

$$\left(\frac{\partial G}{\partial W} \right)_k (W_{k+1}^{n+1} - W_k^{n+1}) = G(W_k^{n+1})$$

- Schéma centré d'ordre 2

$$\overline{\frac{\partial W}{\partial x_i}} = \frac{1}{V_k} \int_{\Gamma_k} W n_i d\Gamma$$

- LibMesh (Kirk 2002)
gestion maillage en //e en C++ avec adaptation (AMR)
- PETSC (Barry 2001)**
résolution système linéaire en //e (MPI)
Krilov, MultiGrille
- METIS (Karypis 1996)
partitionnement

NadiaVF

- Code VF parallèle en C++ sur maillage non structuré

- Schéma V.F. implicite BDF

$$\frac{3W^{n+1} - 4W^n + W^{n-1}}{2\Delta t} = F(W^{n+1})$$

- Newton $G(W^{n+1}) = 0$

$$\left(\frac{\partial G}{\partial W} \right)_k (W_{k+1}^{n+1} - W_k^{n+1}) = G(W_k^{n+1})$$

- Schéma centré d'ordre 2

$$\frac{\partial W}{\partial x_i} = \frac{1}{V_k} \int_{\Gamma_k} W n_i d\Gamma$$

- LibMesh (Kirk 2002)
gestion maillage en //e en C++ avec adaptation (AMR)
- PETSC (Barry 2001)
résolution système linéaire en //e (MPI)
Krilov, MultiGrille
- METIS (Karypis 1996)**
partitionnement

Préconditionnement bas Mach

dépendance des variables d'état en fonction du Mach

$\rho = \theta(1)$ et $u = \theta(1)$ mais $E = \theta(Ma^{-2})$ et $p = \theta(Ma^{-2})$

NadiaLES

Roe-Turkel (Viozat 1999)

- preconditionnement de Δp en (β^2)
- variables entropiques $[\rho, \vec{u}, S]$:

$$\beta \approx Ma$$

NadiaVF

- décomposition de E_t et p

$$E_t(x, t) = \frac{1}{\gamma-1} P_0(t) + E'(x, t)$$

$$p(x, t) = P_0(t) + p'(x, t)$$

- équation pour E'

$$E'(x, t) = \theta(1) \text{ et } p'(x, t) = \theta(1)$$

$$P_0(t) = \left(\frac{v(0)}{v(t)} \right)^\gamma \int_{v(0)} p(x, t) dx$$

Préconditionnement bas Mach

dépendance des variables d'état en fonction du Mach

$\rho = \theta(1)$ et $u = \theta(1)$ mais $E = \theta(Ma^{-2})$ et $p = \theta(Ma^{-2})$

NadiaLES

Roe-Turkel (Viozat 1999)

- preconditionnement de Δp en (β^2)
- variables entropiques $[\rho, \vec{u}, S]$:

$$\beta \approx Ma$$

NadiaVF

- décomposition de E_t et p

$$E_t(x, t) = \frac{1}{\gamma-1} P_0(t) + E'(x, t)$$

$$p(x, t) = P_0(t) + p'(x, t)$$

- équation pour E'

$$E'(x, t) = \theta(1) \text{ et } p'(x, t) = \theta(1)$$

$$P_0(t) = \left(\frac{v(0)}{v(t)} \right)^\gamma \int_{v(0)} p(x, t) dx$$

Préconditionnement bas Mach

dépendance des variables d'état en fonction du Mach

$\rho = \theta(1)$ et $u = \theta(1)$ mais $E = \theta(Ma^{-2})$ et $p = \theta(Ma^{-2})$

NadiaLES

Roe-Turkel (Viozat 1999)

- preconditionnement de Δp en (β^2)
- variables entropiques $[\rho, \vec{u}, S]$:

$$\beta \approx Ma$$

NadiaVF

- décomposition de E_t et p

$$E_t(x, t) = \frac{1}{\gamma-1} P_0(t) + E'(x, t)$$

$$p(x, t) = P_0(t) + p'(x, t)$$

- équation pour E'

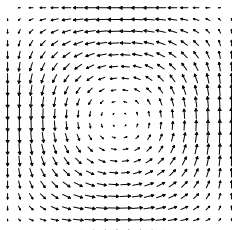
$$E'(x, t) = \theta(1) \text{ et } p'(x, t) = \theta(1)$$

$$P_0(t) = \left(\frac{v(0)}{v(t)} \right)^\gamma \int_{V(0)} p(x, t) dx$$

Décroissance d'un tourbillon

solution analytique

- tourbillon de Taylor $Re = \frac{U_{max}L}{\nu} = 1000$
- solution $Ma = 0$ (non entropique)
- $L = 1, U_{max} = 1, \rho_0 = 1, \rho_0 = \frac{\rho_0}{\gamma Ma^2}$



Questions sur les schémas numériques ?

Fluctuation de densité ?

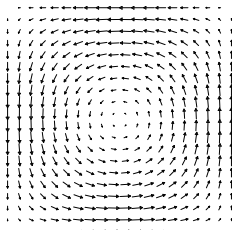
- spatiale: $\Delta \rho = \frac{\rho_0}{\gamma p_0} \Delta p = Ma^2 \Delta p$ (si isentropique)
- temporelle: ondes acoustiques de célérité $\approx c_0 = \sqrt{\frac{\gamma p_0}{\rho_0}} = Ma^{-1}$

Convergence vers la solution $Ma = 0$?

Décroissance d'un tourbillon

solution analytique

- tourbillon de Taylor $Re = \frac{U_{max}L}{\nu} = 1000$
- solution $Ma = 0$ (non entropique)
- $L = 1, U_{max} = 1, \rho_0 = 1, p_0 = \frac{\rho_0}{\gamma Ma^2}$



Questions sur les schémas numériques ?

Fluctuation de densité ?

- spatiale: $\Delta\rho = \frac{\rho_0}{\gamma p_0} \Delta p = Ma^2 \Delta p$ (si isentropique)
- temporelle: ondes acoustiques de célérité $\approx c_0 = \sqrt{\frac{\gamma p_0}{\rho_0}} = Ma^{-1}$

Convergence vers la solution $Ma = 0$?

Fluctuation de densité

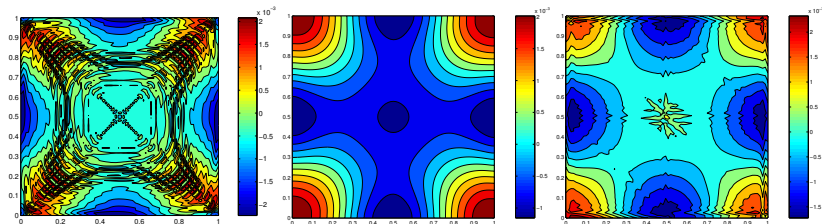


FIG.: fluctuations $\rho - 1$ à $Ma = 0.1$ (NadiaVF, NadiaDF, NadiaLES)

- *allure identique à $Ma = 0.01$ avec une amplitude plus faible*

	NadiaVF	NadiaDF WENO	NadiaDF Padé	NadiaLES
$Ma = 0.1$	$0.37 \cdot 10^{-2}$	$0.34 \cdot 10^{-2}$	$0.34 \cdot 10^{-2}$	$0.44 \cdot 10^{-2}$
$Ma = 0.01$	$0.84 \cdot 10^{-4}$	$0.34 \cdot 10^{-4}$	$0.34 \cdot 10^{-4}$	$0.38 \cdot 10^{-3}$

TAB.: maximum des fluctuations de densité: $\rho_{max} - \rho_{min}$ en 80^2

Fluctuation de densité

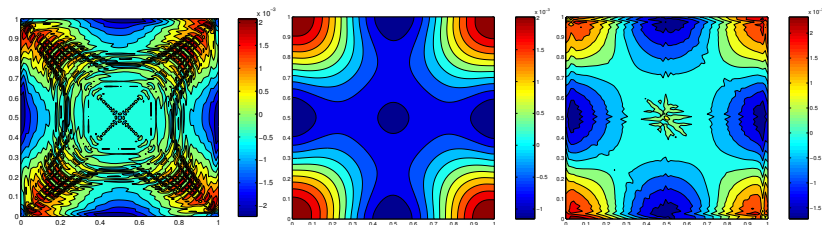
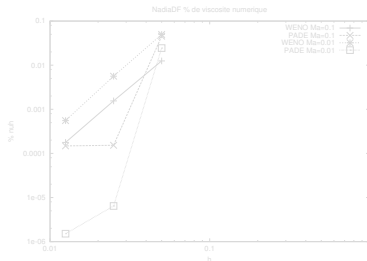
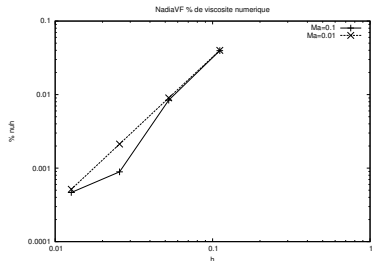


FIG.: fluctuations $\rho - 1$ à $Ma = 0.1$ (NadiaVF, NadiaDF, NadiaLES)

- *allure identique à $Ma = 0.01$ avec une amplitude plus faible*

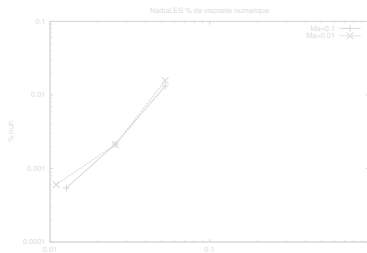
	NadiaVF	NadiaDF WENO	NadiaDF Padé	NadiaLES
$Ma = 0.1$	$0.37 \cdot 10^{-2}$	$0.34 \cdot 10^{-2}$	$0.34 \cdot 10^{-2}$	$0.44 \cdot 10^{-2}$
$Ma = 0.01$	$0.84 \cdot 10^{-4}$	$0.34 \cdot 10^{-4}$	$0.34 \cdot 10^{-4}$	$0.38 \cdot 10^{-3}$

TAB.: maximum des fluctuations de densité: $\rho_{max} - \rho_{min}$ en 80^2

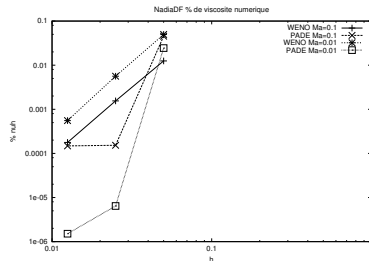
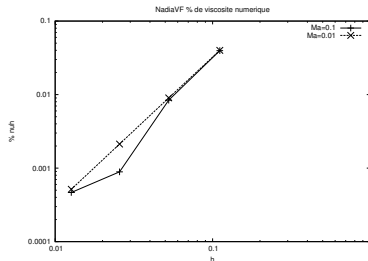
Viscosité numérique ν_h des schémas fonction de h et Ma 

$$\frac{\|\rho U\|_{t=t_f}}{\|\rho U\|_{t=0}} = e^{-2\nu_e \pi^2 t_f}$$

$$\nu_e = \nu + \nu_h$$

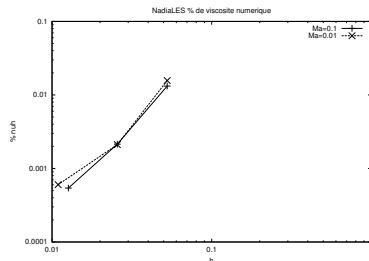


Viscosité numérique ν_h des schémas fonction de h et Ma



$$\frac{\|\rho U\|_{t=t_f}}{\|\rho U\|_{t=0}} = e^{-2\nu_e \pi^2 t_f}$$

$$\nu_e = \nu + \nu_h$$



Propagation d'ondes

avec les schémas d'ordre élevé et le schéma implicite si $CFL < 1$

- Analyse en un point (près de la paroi) pour $CFL = 0.5$ et 10.0

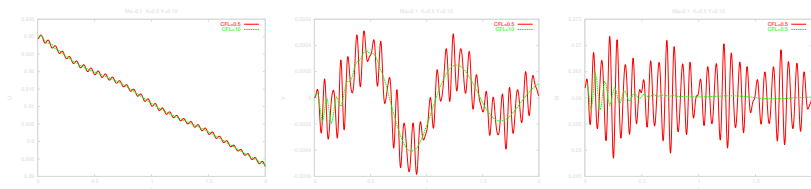


FIG.: fluctuations en un point $(0.5, 0.12)$ pour ρU , ρV et E_t à $Ma = 0.1$

Schéma implicite attire les ondes si CFL

célérité $c_0 = Ma^{-1} \rightsquigarrow$ ondes acoustiques générées par la C.I.
 onde dissipée par viscosité

Propagation d'ondes

avec les schémas d'ordre élevé et le schéma implicite si $CFL < 1$

- Analyse en un point (près de la paroi) pour $CFL = 0.5$ et 10.0

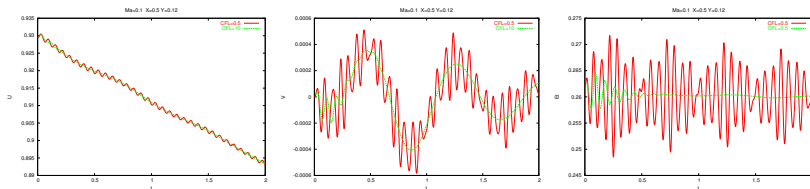


FIG.: fluctuations en un point $(0.5, 0.12)$ pour ρU , ρV et E_t à $Ma = 0.1$

Schéma implicite amortit les ondes si $CFL > 1$

célérité $c_0 = Ma^{-1} \rightsquigarrow$ ondes acoustiques générées par la C.I.
 onde dissipée par viscosité

Propagation d'ondes

avec les schémas d'ordre élevé et le schéma implicite si $CFL < 1$

- Analyse en un point (près de la paroi) pour $CFL = 0.5$ et 10.0

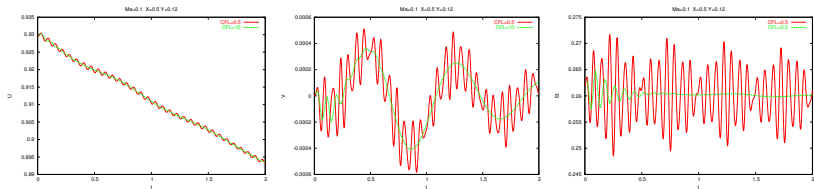
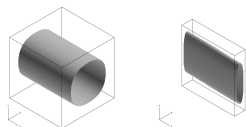


FIG.: fluctuations en un point $(0.5, 0.12)$ pour ρU , ρV et E_t à $Ma = 0.1$

Schéma implicite amortit les ondes si $CFL > 1$

célérité $c_0 = Ma^{-1} \rightsquigarrow$ ondes acoustiques générées par la C.I.
 onde dissipée par viscosité

Compression d'un tourbillon



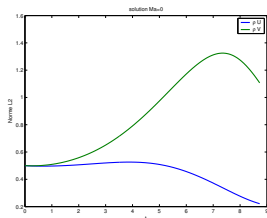
- Model du tumble dans une chambre de combustion

Parametres

$$Re = \frac{U_{max} L(0)}{\nu} = 1000 \text{ (stable)}$$

$$L(t) = 1 - \frac{V_p}{\omega} + \frac{V_p}{\omega} \sin \omega t$$

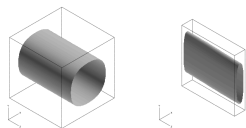
$$V_p = 0,144, \omega = 0,36$$



solution analytique

- tourbillon compressé
- solution $Ma = 0$
- $\rho(t) = \rho_0 \frac{L(0)}{L(t)}$, $\rho_0 = \frac{p_0}{\gamma Ma^2}$
- accélération suivant v
- dissipation visqueuse

Compression d'un tourbillon



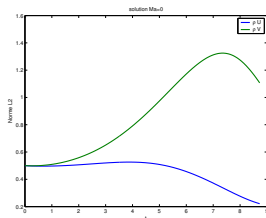
- Model du tumble dans une chambre de combustion

Parametres

$$Re = \frac{U_{max} L(0)}{\nu} = 1000 \text{ (stable)}$$

$$L(t) = 1 - \frac{V_p}{\omega} + \frac{V_p}{\omega} \sin \omega t$$

$$V_p = 0,144, \omega = 0,36$$

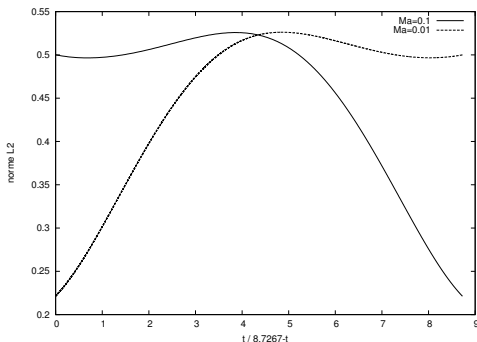
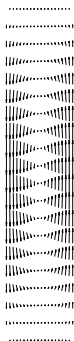


solution analytique

- tourbillon compressé
- solution $Ma = 0$
- $\rho(t) = \rho_0 \frac{L(0)}{L(t)}$, $\rho_0 = \frac{\rho_0}{\gamma Ma^2}$
- accélération suivant v
- dissipation visqueuse

Solution numérique

- Evolution de la vitesse au cours du temps pour $Ma = 0.1$ et $Ma = 0.01$

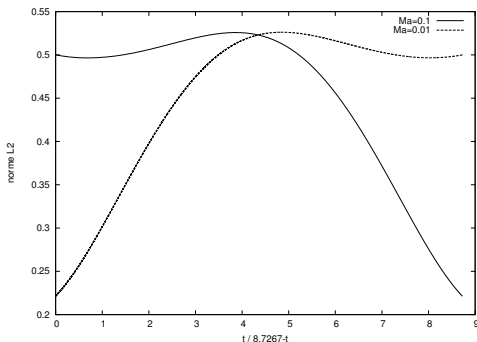
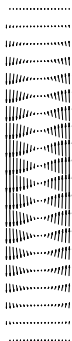


Champ de vitesse

tous les schémas prédisent un champ de vitesse \approx solution $Ma = 0$

Solution numérique

- Evolution de la vitesse au cours du temps pour $Ma = 0.1$ et $Ma = 0.01$



Champ de vitesse

tous les schémas prédisent un champ de vitesse \approx solution $Ma = 0$

Fluctuation de densité

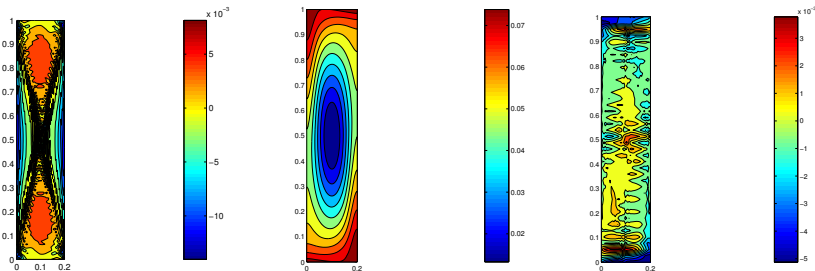


FIG.: fluctuations $\rho - 5$ à $Ma = 0.1$ (NadiaVF, NadiaDF, NadiaLES)

	NadiaVF	NadiaWENO	NadiaPADE	NadiaLES
$Ma = 0.1$	$0.40 \cdot 10^{-1}$	$0.56 \cdot 10^{-1}$	$0.66 \cdot 10^{-1}$	$0.11 \cdot 10^{-1}$
$Ma = 0.01$	$0.41 \cdot 10^{-3}$	$0.44 \cdot 10^{-1}$	$0.29 \cdot 10^{-1}$	$0.97 \cdot 10^{-2}$

TAB.: maximum des fluctuations de densité: $\rho_{max} - \rho_{min}$ (fin comp.) en 40^2

Propagation d'ondes

avec les schémas d'ordre élevé et le schéma implicite si $CFL < 1$

- Analyse en un point (près du piston) pour $CFL = 0.5$ et 10.0

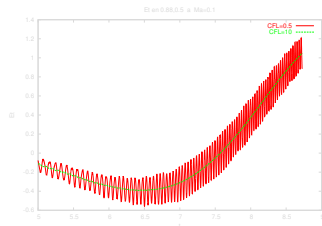
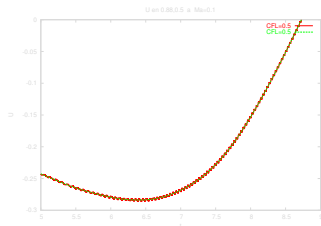


FIG.: fluctuations en un point (0.88,0.5) pour pU et E_t à $Ma = 0.1$

Schéma implicite élargit les ondes si CFL

ondes acoustique ($c_0 \approx Ma^{-1}$) amplifiées par la compression
 → pble avec les schémas d'ordre élevé (instabilité)

Propagation d'ondes

avec les schémas d'ordre élevé et le schéma implicite si $CFL < 1$

- Analyse en un point (près du piston) pour $CFL = 0.5$ et 10.0

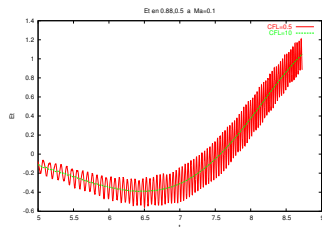
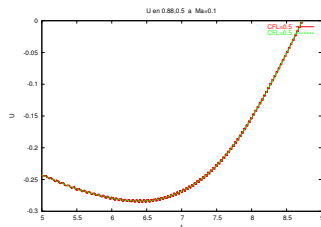


FIG.: fluctuations en un point (0.88,0.5) pour pU et E_t à $Ma = 0.1$

Schéma implicite amortit les ondes si $CFL > 1$

ondes acoustique ($c_0 \approx Ma^{-1}$) amplifiées par la compression
 \rightsquigarrow pble avec les schémas d'ordre élevé (instabilité)

Propagation d'ondes

avec les schémas d'ordre élevé et le schéma implicite si $CFL < 1$

- Analyse en un point (près du piston) pour $CFL = 0.5$ et 10.0

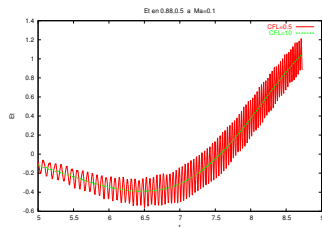
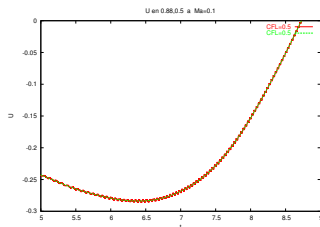


FIG.: fluctuations en un point (0.88,0.5) pour pU et E_t à $Ma = 0.1$

Schéma implicite amortit les ondes si $CFL > 1$

ondes acoustique ($c_0 \approx Ma^{-1}$) amplifiées par la compression
 \rightsquigarrow pble avec les schémas d'ordre élevé (instabilité)

Coût des différents schémas

	NadiaVF	NadiaPADE	NadiaWENO	NadiaLES
$Ma = 0.1$	837	14 900	52 200	17 216
$Ma = 0.01$	7686		298 700	156 000

TAB.: Nbre d'itérations en temps cas 40^2

Temps CPU par itération

- NadiaVF (Pentium IV 2.7 Ghz): $\approx 0.3s$ ($Ma = 0.01$)
et $\approx 0.7s$ ($Ma = 0.1$)
- NadiaDF (Pentium IV 1.7 Ghz) PADE: $\approx 0.04s$ et WENO: $\approx 0.07s$
- NadiaLES (Pentium IV 1.7 Ghz) maillage 3D ($3 * 40^2$): $\approx 0.6s$

Coût des différents schémas

	NadiaVF	NadiaPADE	NadiaWENO	NadiaLES
$Ma = 0.1$	837	14 900	52 200	17 216
$Ma = 0.01$	7686		298 700	156 000

TAB.: Nbre d'itérations en temps cas 40^2

Temps CPU par itération

- NadiaVF (Pentium IV 2.7 Ghz): $\approx 0.3s$ ($Ma = 0.01$)
et $\approx 0.7s$ ($Ma = 0.1$)
- NadiaDF (Pentium IV 1.7 Ghz) PADE: $\approx 0.04s$ et WENO: $\approx 0.07s$
- NadiaLES (Pentium IV 1.7 Ghz) maillage 3D ($3 * 40^2$): $\approx 0.6s$

Conclusion

comparaison des schémas à bas Mach:

- schéma explicite de Roe "NadiaLES" le plus diffusif, mais assez robuste
- schémas d'ordre élevée "NadiaDF" les moins diffusifs mais captent des ondes (instabilité ?), très sensibles aux C.L.
- schéma implicite "NadiaVF" centré le plus efficace à bas Mach si $CFL > 1$ filtrage des ondes acoustiques générées par les C.I.

perspectives futures

analyse des coûts en 3D pour de la LES
comparaison avec des solutions compressibles (analyse asymptotique)

Conclusion

comparaison des schémas à bas Mach:

- schéma explicite de Roe “NadiaLES” le plus diffusif, mais assez robuste
- schémas d'ordre élevée “NadiaDF” les moins diffusifs mais captent des ondes (instabilité ?), très sensibles aux C.L.
- schéma implicite “NadiaVF” centré le plus efficace à bas Mach si $CFL > 1$ filtrage des ondes acoustiques générées par les C.I.

Poursuite des études

analyse des coûts en 3D pour de la LES
comparaison avec des solutions compressibles (analyse asymptotique)

Compression en 3D

- Calcul spectral $Ma = 0$ (Le Penven 2002)

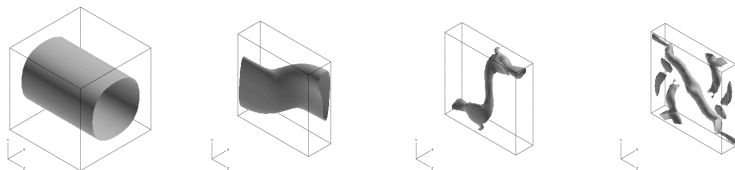


FIG.: compression d'un tourbillon perturbé en 3D à $Re = 6000$ ($t = 0, 3, 5, 8$)